

ناحیه قابل دید از یک نقطه بالای TIN ۱. بعدی و ۲.۵ بعدی

سپیده آقاملائی

۹۲۲۹۱۹۴۱

فهرست

- تعریف‌ها: قابلیت دید، TIN، خط دید
- الگوریتم حالت ۱.۵ بعدی و پیاده‌سازی آن
 - الگوریتم پیشوندی بهینه
- الگوریتم حالت ۲.۵ بعدی و پیاده‌سازی آن
- روش‌های موجود
- تعریف‌های مسئله (انواع مسئله)
- پیاده‌سازی الگوریتم حالت ۲.۵ بعدی
- ساده‌سازی مسئله

قابلیت دید

- قابلیت دید (visibility):
- دو نقطه را نسبت به هم قابل دید می‌گویند اگر پاره خط وصل آنها توسط شیء دیگری قطع نشود.
- ناحیه قابل دید سطح (viewshed):
- بزرگترین ناحیه‌ای از یک سطح که نقاط آن از یک نقطه داده شده (ناظر) قابل دید باشند.

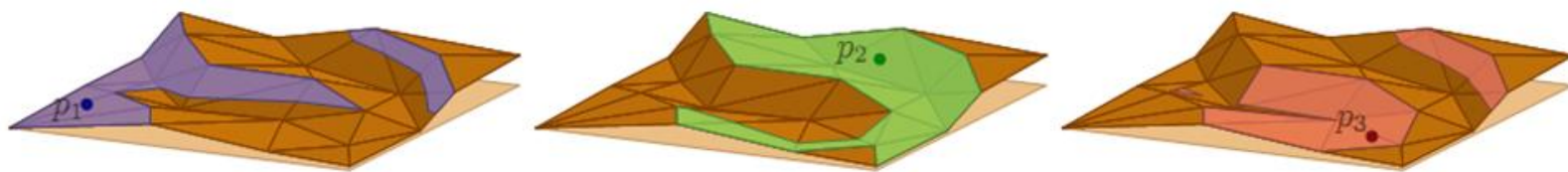


Figure 1: The viewsheds of three viewpoints on a 2.5D terrain.

۱.۵ بعدی و ۲.۵ بعدی

- ناحیه ۱.۵ بعدی:

- چندضلعی X -یکنوا در صفحه اعداد حقیقی است.

- ناحیه ۲.۵ بعدی:

- چندضلعی (x,y) -یکنوا در فضای اعداد حقیقی است.

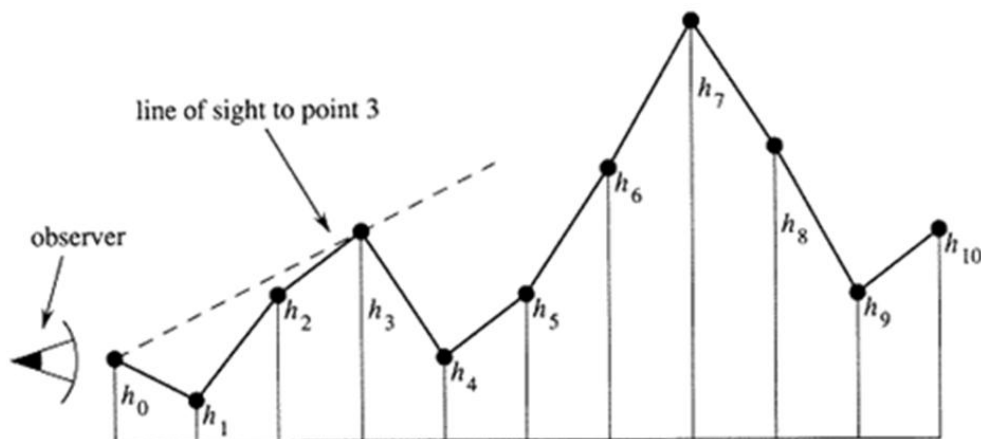


Figure 1-121 The one-dimensional terrain for the observer in Problem 1.32. The observer is at height h_0 and, in this example, can see only points 1, 2, 3, and 7.

شبکه مثلثبندی شدهی نامنظم

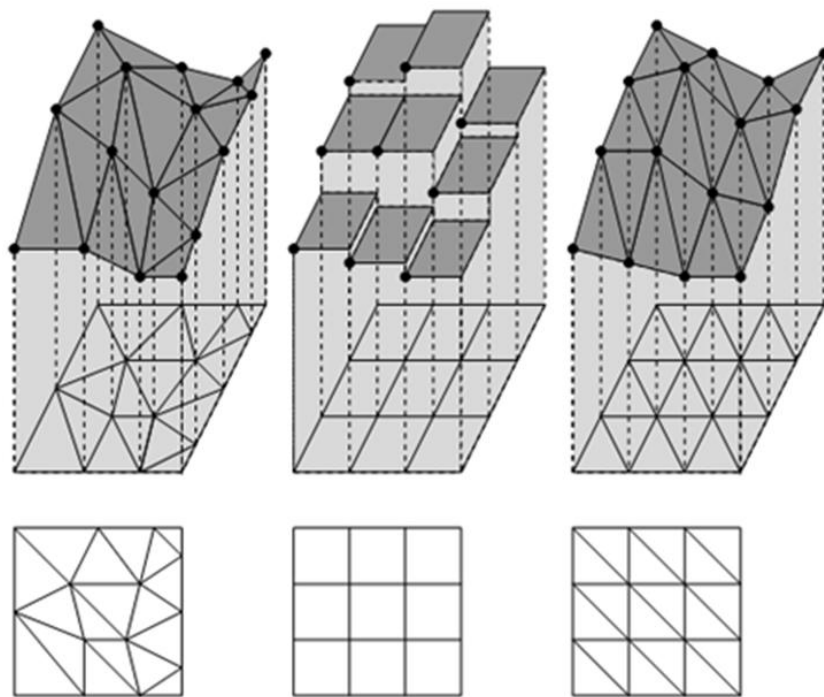


Figure 1: A TIN, a stepped RSG, and a triangulated RSG.

- شبکه مثلثبندی شدهی نامنظم
- Triangulated Irregular Network (TIN)
- دو نوع نمایش (Digital Elevation Model) در سیستم‌های اطلاعات جغرافیایی (GIS) داریم:
- نمونه گیری تصادفی از سطح (TIN)
- نمونه گیری منظم از سطح (RSG)

نمایش سلسله مراتبی

- می‌توان بر اساس مدل نمایش، از فشرده‌سازی با انواع درخت چهارتایی استفاده کرد.

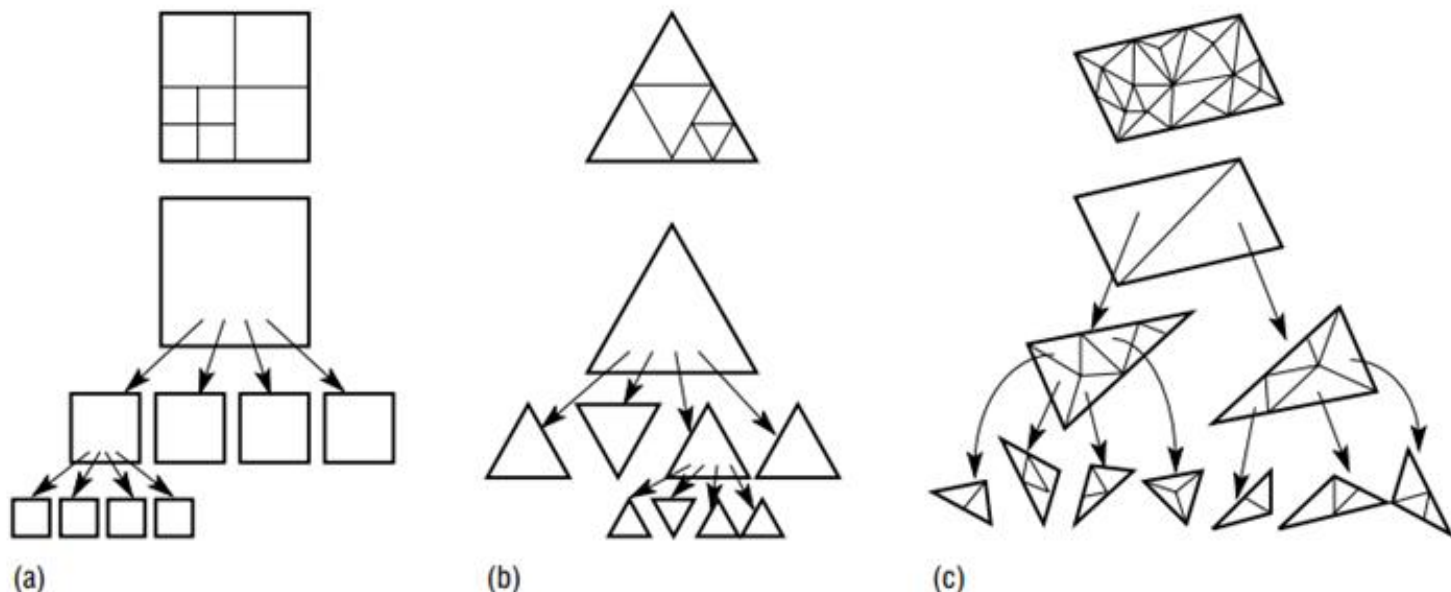


Fig 5. Hierarchical terrain models: (a) quadtree; (b) quaternary triangulation; (c) hierarchical TIN.

محاسبه ناحیه قابل دید در حالت ۱.۵ بعدی

- خط دید (line of sight): خطی که از ناظر به یک رأس ناحیه رسم می‌شود.
- زاویه دید یعنی زاویه بین خط دید و محور X را حساب می‌کنیم. الگوریتم پیشوندی موازی با تابع ماکسیمم را روی آن اجرا می‌کنیم. رأسهای ماکسیمم قابل دیدی هستند. (ناحیه قابل دید گستته)

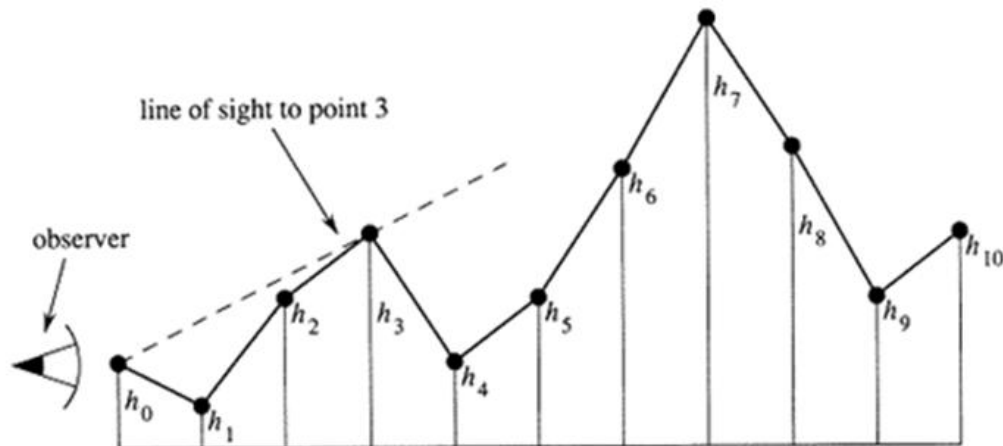


Figure 1-121 The one-dimensional terrain for the observer in Problem 1.32. The observer is at height h_0 and, in this example, can see only points 1, 2, 3, and 7.

الگوریتم برای حالت ۱.۵ بعدی

- تقاطع یال بین یک رأس قابل دید و غیر قابل دید را با خط دید حساب می‌کنیم و رأس ناحیه قابل دید را به دست می‌آوریم. سایر رأسهای ناحیه قابل دید رأسهای قابل دید ناحیه اصلی هستند. (ناحیه قابل دید پیوسته چندضلعی با این رئوس است).

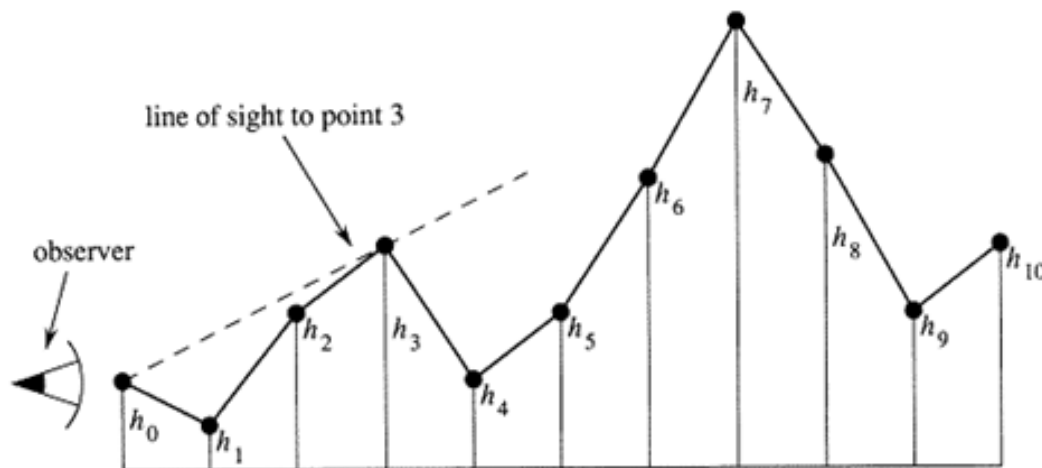


Figure 1-121 The one-dimensional terrain for the observer in Problem 1.32. The observer is at height h_0 and, in this example, can see only points 1, 2, 3, and 7.

پیاده‌سازی الگوریتم حالت ۱.۵ بعدی

- الگوریتم پیشوندی موازی PRAM را به کار می‌بریم.
- رأسهای قابل دید را در یک آرایه علامت می‌زنیم و زاویه‌های آنها را نگه می‌داریم.

S	0:0	1:1	2:2	3:3	4:4	5:5	6:6	7:7	8:8	9:9
0	0:0									
1		0:1								
2			0:2							
3				0:3						
4					0:4					
5						0:5				
6							0:6			
7								0:7		
8									0:8	
9										0:9

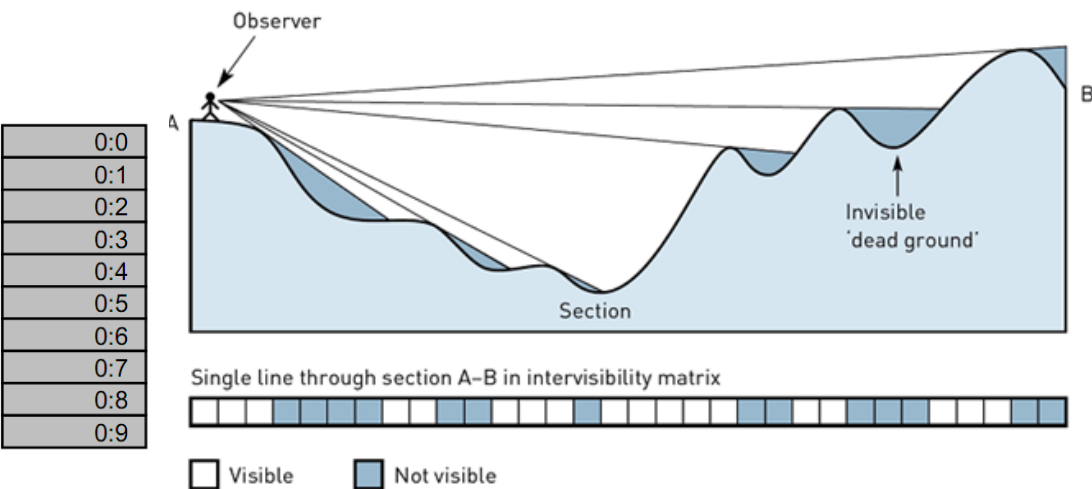


Fig. 3 Ray tracing for visibility analysis [11]

پیشوند موازی در مدل PRAM

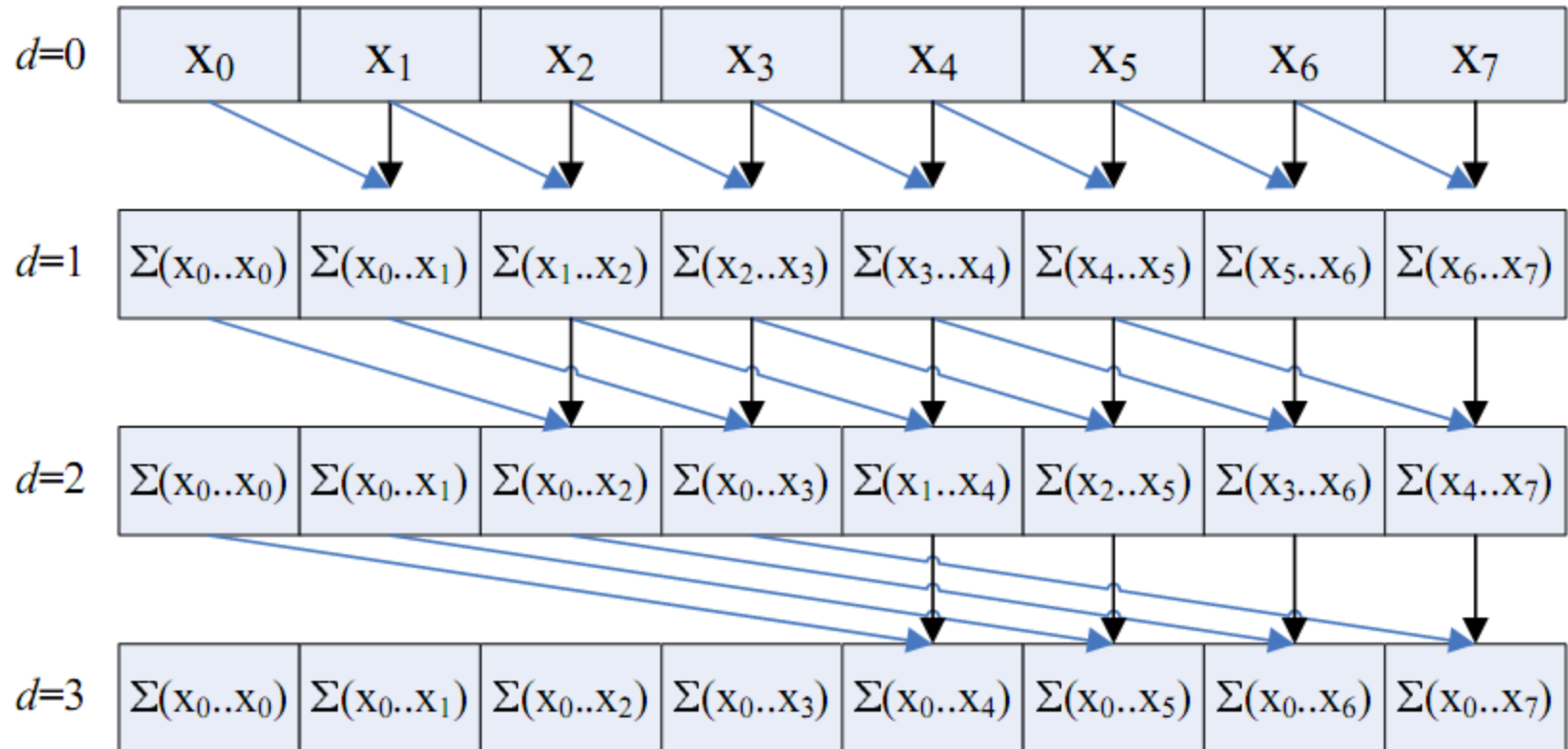


Figure 1: Computing a scan of an array of 8 elements using the naïve scan algorithm.

مرحله‌ی اول الگوریتم بهینه پیشوند موازی

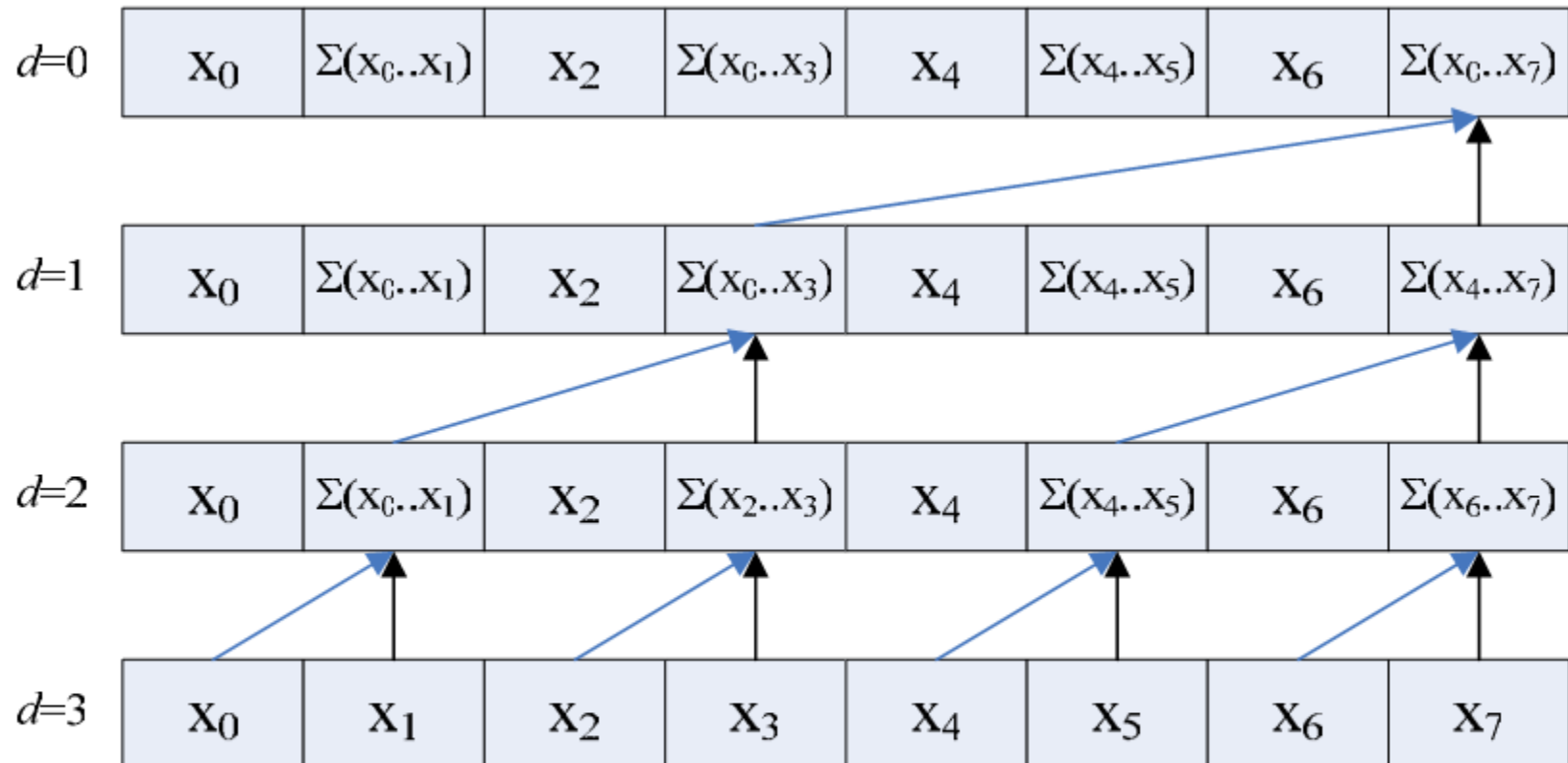


Figure 2: An illustration of the up-sweep, or reduce, phase of a work-efficient sum scan algorithm.

مرحله‌ی دوم الگوريتم بهينه پيشوند موازي

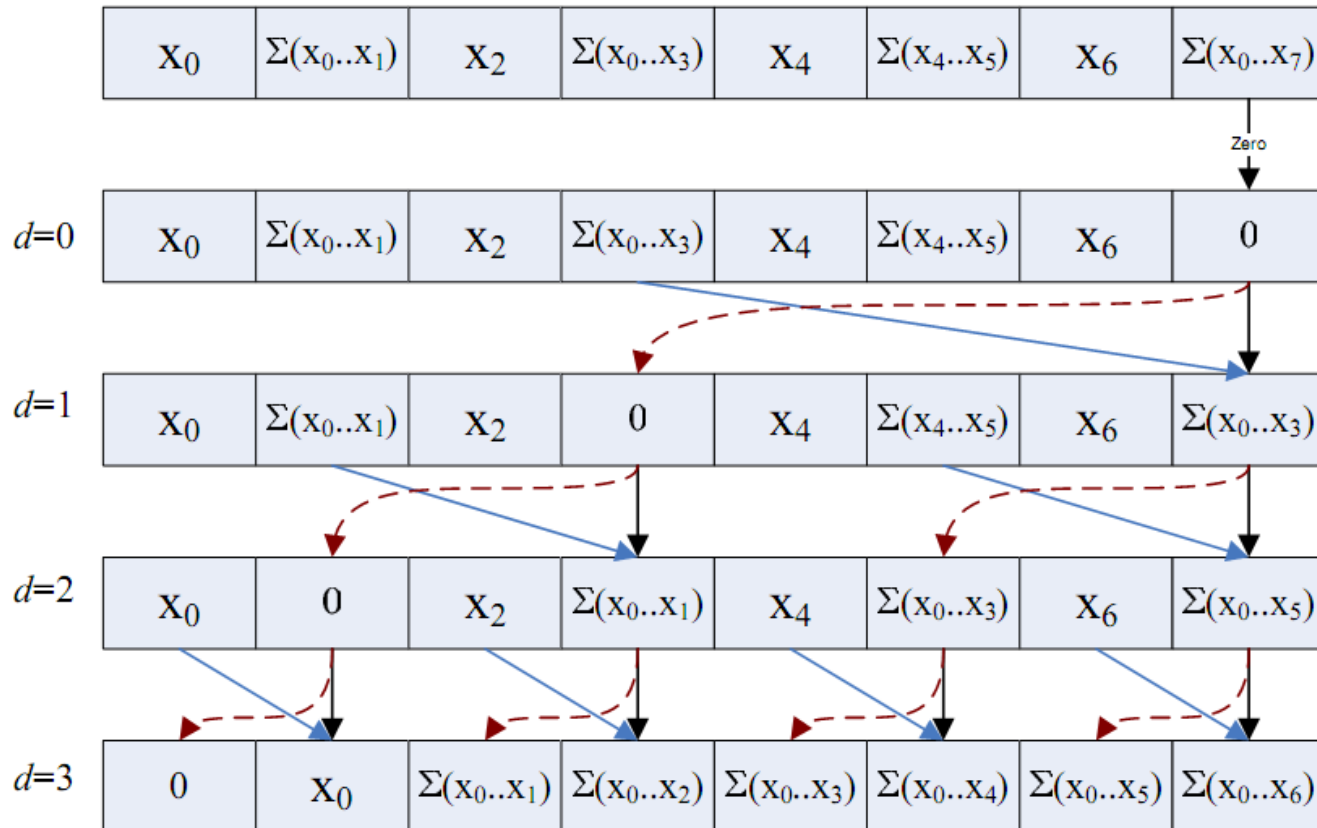


Figure 3: An illustration of the down-sweep phase of the work-efficient parallel sum scan algorithm. Notice that the first step zeros the last element of the array.

روش‌های موجود

Approach	Authors	Input DEM	Output information
Front-to-back	De Floriani et al., 1989 (parallel version by De Floriani, Montani and Scopigno, 1994)	TIN	Continuous visibility map
Front-to-back	Lee, 1991	TIN	Discrete visibility map
Line-of-sight	Shapira, 1990; Bleloch, 1990	RSG	Discrete visibility map
Line-of-sight (parallel algorithm)	Mills, Fox and Heimbach, 1992; Teng, De Menthon and Davis, 1993	RSG	Inter-visibility map
Line-of-sight	Sorensen and Lanter, 1993	RSG	Continuous visibility map
Sector-based	Stewart, 1998	RSG or TIN (just vertices)	Approximated horizon
Concentric rings (approximated algorithm)	Franklin and Ray, 1994	RSG	Discrete visibility map
Line-of-sight	Fisher, 1996	RSG	Extended viewsheds
Radial sweep	Van Kreveld, 1996	RSG	Extended viewsheds
Line-of-sight (parallel algorithm)	Rallings et al., 1998	RSG	Visibility counts

Table 1: Summary of reviewed visibility algorithms.

محاسبه ناحیه قابل دید در حالت ۲.۵ بعدی

- اگر از نقطه دید به یک ضلع TIN وصل کنیم، ناحیه‌ی گلدانی شکلی ساخته می‌شود که زیر آن دیده نمی‌شود.
- Upper envelope این ناحیه‌ها و مثلثهای terrain ناحیه‌ی پیوسته‌ی قابل دید را می‌دهد.

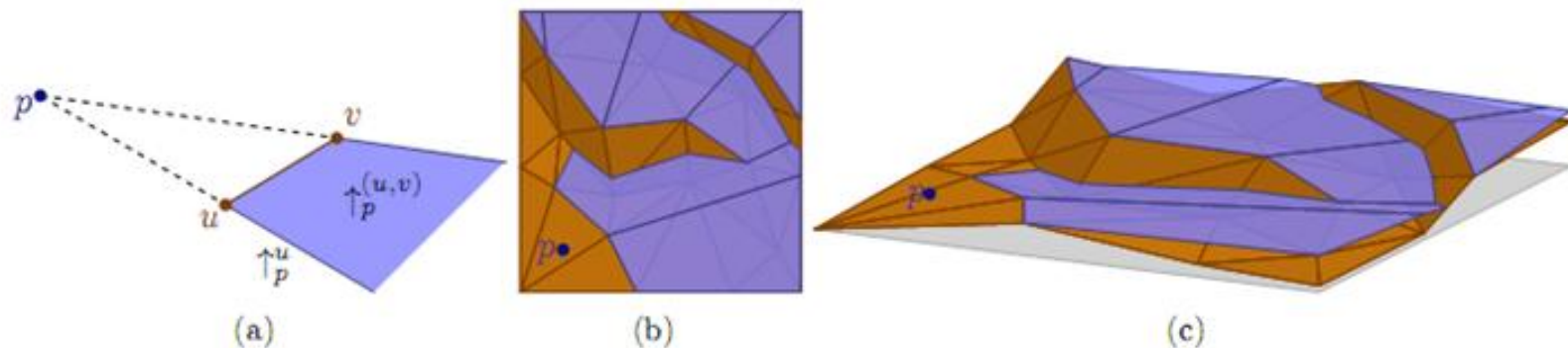


Figure 11: (a) A ray and a vase. (b) The top-down view of a terrain \mathcal{T} with a single viewpoint p . The domain is decomposed in the viewshed $\text{Vis}(\mathcal{T}, p)$ and a collection of vases. (c) a 3D view of \mathcal{T} and the vases of p .

الگوریتم بهینه حالت ۲.۵ بعدی

- چندضلعی ساده و lower envelope
-

TABLE 42.6.1 Parallel visibility algorithms for a simple polygon.

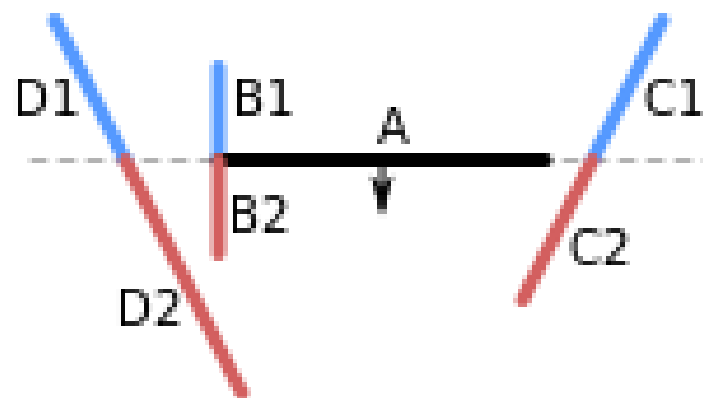
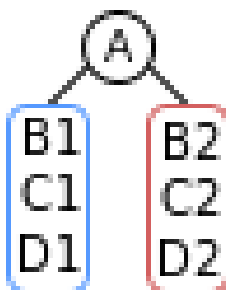
PROBLEM	MODEL	TIME	WORK	REF
Kernel	EREW	$O(\log n)$	$O(n)$	[Che95]
Vis from a point	EREW	$O(\log n)$	$O(n)$	[ACW91]
Vis from an edge	CRCW	$O(\log n)$	$O(n)$	[Her92]
Vis from an edge	CREW	$O(\log n)$	$O(n \log n)$	[GSG92, GSG93]
Vis graph	CREW	$O(\log n)$	$O(n \log^2 n + m)$	[GSG92, GSG93]

TABLE 42.6.2 General parallel visibility and enveloping algorithms.

PROBLEM	MODEL	TIME	WORK	REF
Lower env for segments	EREW	$O(\log^2 n)$	$O(n \log n)$	[Her89]
Lower env for k -int curves	EREW	$O(\log^2 n)$	$O(\lambda_{k+2}(n) \log n)$	[BM87]

درخت دودویی تجزیه‌ی فضا (BSP)

- الگوریتم (front-to-back) (front-to-back)
- یک صفحه‌ی دلخواه از بین صفحات ورودی انتخاب کن.
- هر صفحه‌ی یا جلوی صفحه‌ی دیگر است یا پشت آن یا صفحه را قطع می‌کند و دو نیم صفحه ایجاد می‌کند که یکی پشت آن و دیگری جلوی آن است.
- پیمایش درخت حاصل برای حل مسئله زمان $O(n)$ می‌برد.
- الگوریتم نقاش‌ها (گرافیک)



انواع ناحیه قابل دید از نقطه

- حالتی که نقطه روی سطح باشد.
- حالتی که نقطه خارج سطح باشد.
- حالتی که نقطه در بینهایت باشد.

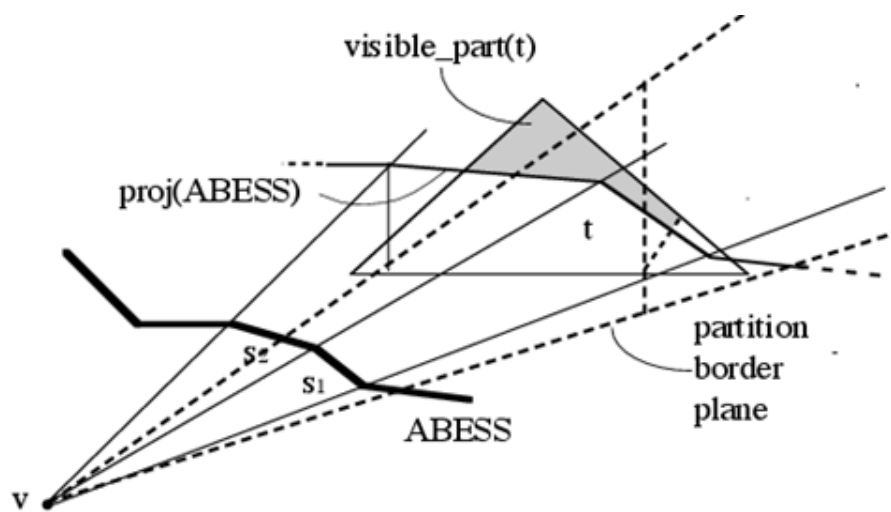
- ناحیه قابل دید گستته: رأسهای TIN که قابل دید هستند.
- ناحیه قابل دید پیوسته: مجموعه نقاط سطح TIN که قابل دید هستند.

- نسخه‌ی پیاده‌سازی شده:

 - نقطه خارج سطح باشد و در یک سمت قرار داشته باشد: (TIN را بر اساس $y-x$ به دو یا بیشتر قسمت تقسیم کنیم که نقطه دید در یک طرف هر کدام باشد).
 - ناحیه قابل دید پیوسته به صورت ناحیه‌های سایه و مثلث اولیه (بدون تصویر کردن روی صفحه دو بعدی جدید و محاسبه‌ی ناحیه و تبدیل دوباره‌ی آن به حالت سه بعدی)

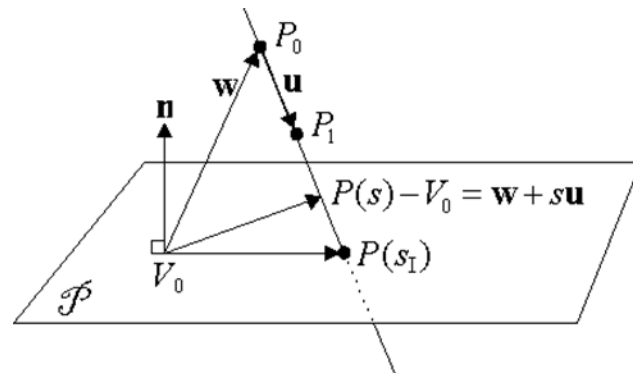
الگوریتم حالت ۲.۵ بعدی

- ناحیه‌های مثلثی ورودی الگوریتم هستند.
- سایه‌ی هر مثلث روی ناحیه قابل دید فعلی هر مثلث دیگر حساب می‌شود.
- پیچیدگی ناحیه‌ی به دست آمده الگوریتم $O(n^2\alpha(n))$ است که هم هست. زمان الگوریتم $O(n\alpha(n))$ است، چون ما ناحیه‌ی هر مثلث را با یک پردازنه حساب می‌کنیم (زمان محاسبه‌ی پوش پایینی پاره خط‌ها). در غیر این صورت باید تقاطع دو چند ضلعی غیرمحدب را حساب کنیم که زمان را بهتر نمی‌کند.



محاسبه‌ی سایه‌ی هر مثلث روی صفحه مثلث دیگر

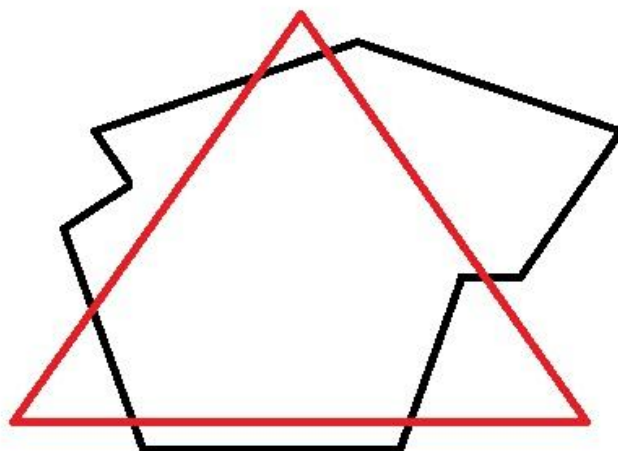
- تقاطع خط گذرنده از نقطه دید و رأس مثلث با صفحه مثلث دیگر



- شرط سایه بودن: نقطه دید و مثلث تصویر شده در یک سمت صفحه باشند.
- تشخیص تقاطع داشتن
 - متداخل باشند.
 - پاره خط‌های اضلاع هم‌دیگر را قطع کنند.
- محاسبه‌ی تقاطع
 - اجتماع چندضلعی‌های محدب، لزوماً محدب نیست.

محاسبه‌ی تقاطع سایه‌ی مثلث‌ها

- تفاضل چندضلعی محدب (مثلث) و اجتماع سایه‌ها یک چندضلعی ساده است.
- محاسبه‌ی این ناحیه با جاروب صفحه و ذوزنقه‌بندی ممکن است.
- زمان این کار $O(n \log n)$ است در صورتی که ترتیبی اجرا شود، پس اگر بخواهیم سایه‌ها را مجزا حساب کنیم، هنگام ادغام چندضلعی‌ها باید زمان بیشتری صرف کنیم.



نکات

- برای ساده شدن پیاده‌سازی نکات زیر به کار رفته‌اند:
- اگر دو مثلث هم صفحه باشند، اگر تقاطع آنها روی صفحه‌ی xy متقاطع باشند، خود آنها هم متقاطع اند. (فرض کنید مثلث‌ها عمودی نیستند).
- معادله‌ی صفحه: $ax+by+cz+d = 0 \implies \text{normal.}(x,y,z)+d = 0$
- تعداد نخ‌هایی که سایه‌های روی یک مثلث را حساب می‌کنند، حداقل می‌تواند یکی باشد، چون باید اشتراک سایه‌های روی آن به صورت ترتیبی محاسبه شود.
- `region<<<n,1>>>(a_g,b_g,view_point_g,N,num_g);`
- تخصیص حافظه اگر یک بعدی نباشد، باید با دستورات مربوط به آن انجام شود؛ در غیر این صورت داده‌ها به درستی کپی نمی‌شوند.
- در به دست آوردن معادله‌ی خطها و صفحه‌ها و ... باید حالات‌ای که باعث صفر شدن مخرج کسرها می‌شوند به صورت جداگانه بررسی شوند. مثل تقاطع پاره‌خط‌های موازی، تقاطع پاره‌خط‌های عمودی، محاسبه‌ی معادله‌ی پاره‌خط‌های عمودی، ...
- بررسی مداخل بودن سایه مثلث دیگر در مثلث اولیه: اگر متقاطع نباشند و یک رأس سایه درون مثلث اولیه بیفتند.

سؤال؟

- [1] L. D. Floriani and P. Magillo, "Algorithms for Visibility Computation on Terrains: a Survey".
- [2]L. D. Floriani and P. Magillo, "Intervisibility on terrains," in Intervisibility on terrains.
- [3]F. T. Leighton, Introduction to Parallel Algorithms. San Mateo: Morgan Kaufman, 1992.
- [4]F. Hurtado et al., "Terrain Visibility with Multiple Viewpoints," International Symposium on Algorithms and Computation, 2014.
- [5]N. Stojanović and D. Stojanović , "Performance Improvement of Viewshed Analysis Using," TELSIKS, 2013.
- [6]Y. Xia, Y. Li, and X. Shi, "Parallel Viewshed Analysis on GPU using CUDA," Third International Joint Conference on Computational Science and Optimization, 2010.
- [7]J. Fishman, H. Haverkort, and L. Toma, "Improved Visibility Computation on Massive Grid Terrains".
- [8]C. R. Ferreira, M.V. A. Andrade, S. V. G. Magalhães, W. R. Franklin, and G. C. Pena, "A parallel algorithm for viewshed computation on grid," Journal of Information and Data Management, 2014.
- [9]M.T. Goodrich, "Parallel Algorithms in Geometry," in Handbook of Discrete and Computational Geometry.: Chapman and Hall/CRC Press, 2004, ch. 42, pp. 953-967.
- [10]M. J. Atallah and D. Z. Chen, "Optimal parallel algorithm for visibility of a simple polygon from a point," SCG '89 Proceedings of the fifth annual symposium on Computational geometry, pp. 114 - 123, 1989.
- [11]P. Bertolazzi, S. Salza, and C. Guerra, "A parallel algorithm for the visibility problem from a point," J. Parallel Distrib. Comput., vol. 9, pp. 11-14, 1990.
- [12]Mikhail J. Atallah, "Efficient Plane Sweeping in Parallel," Report Number: 85-563, 1985.
- [13]L. Boxer and R. Miller, "Parallel dynamic computational geometry," Dept. Comput. Sci., SUNY-Buffalo, Report 87-11, 1987.
- [14]L. D. Floriani and P. Magillo, "Visibility algorithms on triangulated digital terrain models," International Journal of Geographical Information Systems, vol. 8, no. 1, pp. 13-41, 1994.
- [15]L. De Floriani, C. Montani, and R. Scopigno, "Parallelizing visibility computation on triangulated terrains," International Journal of Geographic Information Systems, vol. 8, no. 6, pp. 515-531, 1994.
- [16]N. Coll, N. Madern, and J. A. Sella, "Good-visibility maps visualization".